

Testes de Pertinência Generalizada de Pontos em GPU

Luciano Silva

Universidade Mackenzie, Faculdade de Computação e Informática,
Laboratório de Processamento Gráfico e Mídias Digitais, Brasil

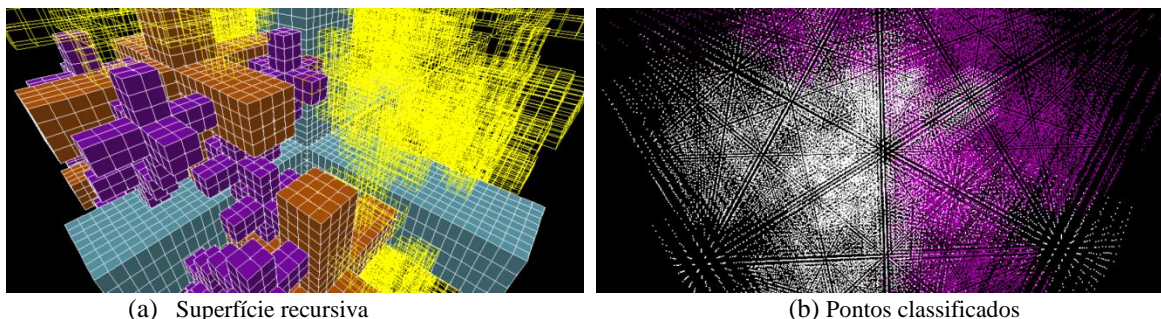


Figura 1: Resultados de classificação de pertinência de pontos contra uma superfície tridimensional complexa.

Resumo

O problema de pertinência de pontos em objetos matematicamente bem definidos, como curvas e superfícies, encontra-se entre os problemas mais elementares em Computação Gráfica. A especificação e implementação de predicados de pertinência corretos em critérios geométricos e numéricos, bem como eficientes, é de grande interesse computacional e possui um amplo espectro de aplicações em operações como *filling*, *stroking* e *antialiasing*. Apesar de bem posto, o problema da pertinência ainda carece de métodos que alcancem grandes classes de geometrias. Este trabalho apresenta um algoritmo de pertinência de pontos que alcança o domínio das hipersuperfícies discretas de dimensão arbitrária, possui baixa complexidade, estruturas de dados simples e, adicionalmente, realiza uma implementação em CUDA, com comparação a processadores *single core* e *multicore*.

Palavras-chave: Pertinência de Pontos, Superfícies Discretas, Geometria Discreta, Algoritmos Discretos, GPU, Geometria Computacional.

Contato do Autor:

luciano.silva@mackenzie.br

1. Introdução

Um dos objetivos centrais da computação gráfica é produzir imagens a partir de um modelo, processo denominado *rendering*. Uma classe bastante importante de algoritmos de *rendering* é denominada *algoritmos baseados em imagem*, cujos representantes mais conhecidos são os algoritmos de *filling*, *stroking* e *antialiasing*. Esta classe frequentemente necessita de uma operação bastante elementar, denominada

pertinência de pontos, que, em linhas gerais, permite decidir se um determinado ponto está no interior de um objeto matematicamente bem definido, como curvas, superfícies ou volumes. Apesar de bem posto, o problema da pertinência de pontos encontra vários obstáculos como robustez geométrica e numérica, estabilidade e alcance a grandes classes de geometrias.

[FORREST 1985] reafirmou a necessidade de um algoritmo robusto e eficiente para pertinência de pontos. No caso bidimensional, uma resposta foi dada por [CORTHOUT and POL 1992] que implementaram um predicado com robustez geométrica e numérica garantidas *a priori*, além de alcançarem uma classe bastante geométrica bastante complexa – curvas discretas com auto-intersecção – e construírem uma implementação em *hardware* de um predicado de pertinência, através do *chip Pharos*. Poucos algoritmos de pertinência têm sido publicados, principalmente em dimensões mais elevadas.

Este artigo apresenta uma extensão da técnica de [CORTHOUT and POL 1992] para dimensões inteiras arbitrárias e alcançando uma classe bastante geométrica ainda mais complexa: hipersuperfícies discretas com autointersecção. Os algoritmos generalizados de pertinência propostos possuem baixa complexidade, utilizam estruturas de dados muito simples, qualidade que permitiu uma implementação eficiente em CUDA.

2. Hipersuperfícies Discretas

O ambiente geométrico deste trabalho é formado por objetos e hipersuperfícies discretos. A definição precisa destes elementos desempenha um papel fundamental na caracterização das noções de interior e exterior.

Complexos celulares formam a base para definição de objetos discretos. De [SPANIER 1995], um complexo celular euclidiano k -dimensional é um objeto formado pela junção de células homeomorfas a bola fechada k -dimensional, chamadas de k -células. A partir disto, baseado em [AYALA ET AL. 1995], define-se a noção de objetos e hipersuperfícies discretos.

Definição 2.1. Um objeto discreto k -dimensional Ω é um complexo celular euclidiano discreto puro k -dimensional, isto é, um complexo celular cujas 0-células têm coordenadas inteiras e toda k' -célula, $k' < k$, é bordo de de alguma k -célula. O conjunto dos objetos k -dimensionais Ω com n k -células, imersos no espaço \mathbb{Z}_d , é denotado por $\Omega_n^{k,d}$.

A Figura 2 mostra dois exemplos de objetos discretos bidimensionais e um tridimensional:

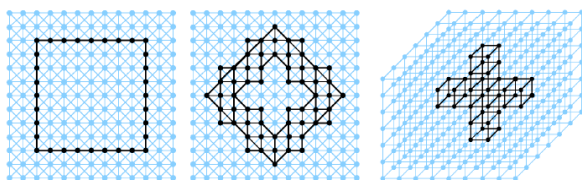


Figura 2: Exemplos de objetos discretos.

Hipersuperfícies discretas limitam o conjunto de pontos interiores a um objeto discreto e representam o principal elemento para computação de pertinência de pontos.

Definição 2.2. Seja Ω um objeto discreto k -dimensional e Ω' seu sub-complexo formado por células $(k - 1)$ dimensionais. O bordo combinatório de Ω , denotado por $\partial(\Omega)$, é definido pelo fecho combinatório Ω' :

$$\partial(\Omega) = \text{Cl}(\Omega') = \Omega' \cup \{\tau \in \Omega \mid \exists \tau' \in \Omega', \tau \leq \tau'\}.$$

Uma hipersuperfície discreta k -dimensional M é um subconjunto $M \subset \mathbb{Z}_{k+1}$ que é bordo combinatório de algum objeto discreto $(k+1)$ -dimensional Ω imerso em \mathbb{Z}_{k+1} .

A Figura 3 mostra as hipersuperfícies discretas associadas aos objetos discretos da Figura 2.

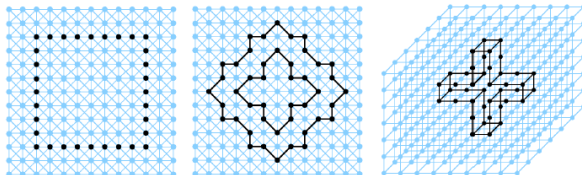


Figura 3: Exemplos de hipersuperfícies discretas.

Não é difícil observar que toda hipersuperfície k -dimensional M é também um objeto discreto k -dimensional.

3. Problema de Pertinência Generalizada de Pontos

O problema de pertinência generalizada de pontos pode ser posto da seguinte forma:

Dados uma hipersuperfície discreta fechada $(k-1)$ -dimensional $M \subset \mathbb{Z}_k$ e um ponto $P \in \mathbb{Z}_k$, P pertence a alguma região interior definida por M ?

A noção de região interior é intuitiva quando M não tem auto-intersecção. Mesmo nesta situação, é necessário o uso de uma ferramenta matemática chamada *número de rotação* (*winding number*). Existem duas maneiras de definir números de rotação: uma *versão analítica*, que pode empregar integrais complexas de linha [SPANIER 1995], formas diferenciais [GUILLEMIN e POLLACK 1974] ou a Integral de Kronecker [PRICE 1984], e uma *versão geométrica*, que conta o número de intersecções diretas com uma semi-reta [EDELSBRUNER 1987, GUIBAS et al. 1983]. Algoritmos de pertinência de pontos utilizam, normalmente, a versão geométrica, dada a sua viabilidade para implementação.

Existem poucos métodos de pertinência de pontos em Computação Gráfica. As limitações destes métodos incluem geometrias reduzidas, tratamento exaustivo de casos especiais e problemas numéricos. Alguns métodos somente caracterizam as regiões interiores e exteriores, mas não disponibilizam nenhum algoritmo para pertinência.

No ambiente bidimensional, grande parte dos métodos computa ou conta o número de intersecções entre semiretas e partes da hipersuperfície discreta. Para estes métodos, geometrias complexas representam a principal barreira e, normalmente, necessitam de um tratamento extensivo de casos especiais. [EDELSBRUNER 1987, GUIBAS et al. 1983] são exemplos bastante representativos nessa linha. [CORTHOUT e POL 1992] desenvolveram um método para geometrias dimensionais complexas, com robustez geométrica e numérica provadas *a priori* e será o ponto de partida para a extensão proposta neste artigo. Mesmo com implementação em hardware, através do *chip Pharos*, o método ainda possui uma dependência quadrática em relação à resolução.

[FABRIS et al. 1997, FABRIS et al. 1998] reduziram significativamente a complexidade de utilização do método de [CORTHOUT e POL 1992] para operações de *filling* e *stroking*. Uma linha alternativa de tratamento para o ambiente bidimensional é apresentada por [TANG 1988], que transforma a integral de linha da definição analítica de número de rotação para uma integral dupla, utilizando o Teorema de Green.

Poucos resultados têm sido publicados para dimensões maiores ou iguais a 3. Grande parte destes resultados ainda somente caracterizam interiores e exteriores, não disponibilizando predicados de decisão de pertinência para as regiões. Nesta linha, [MORGENTHALER e ROSENFELD 1981] apresentaram uma versão discreta do bem-conhecido Teorema de Jordan-Bröwer e [AYALA ET AL. 1995] estenderam este resultado para o domínio das variedades discretas. Numa linha mais computável, [FEITO ET AL. 1997] desenvolveram um método para poliedros gerais, que utiliza cálculo de determinantes para decidir a pertinência de pontos. Este método inclui modelos *non-manifold* e sua extensão para geometrias mais complexas não é clara. [MORGENTHALER e ROSENFELD 1981] descrevem um complexo algoritmo para determinar as componentes do complemento de uma variedade discreta $(n-1)$ -dimensional, imersa em \mathbb{Z}_n . Mesmo no caso tridimensional, a implementação deste método é uma tarefa bastante árdua.

A próxima seção descreve uma extensão realizada por [SILVA 2004], a partir do trabalho de [CORTHOUT e POL 1992], para espaços discretos de dimensão arbitrária e que forma a base da implementação em GPU.

3. Pertinência Generalizada

A noção de interior e exterior, para qualquer dimensão, pode ser realizada através dos números de rotação (*winding numbers*), definidos através da Integral de Kronecker:

Definição 3.1: Seja $s : A \subset \mathbb{R}^{d-1} \rightarrow \mathbb{R}^d$ uma hipersuperfície parametrizada, suave por partes e sem bordo, e $P \in \mathbb{R}^d$ um ponto não contido no traço $s(u) = (s_1(u), \dots, s_d(u))$, $u \in A$. O número de rotação $w(s,P)$ de s com relação a P é dado pela fórmula:

$$(-1)^d \frac{1}{A_{d-1}(1)} \int_A \frac{\det[s(u) - P, D_1 s(u), \dots, D_{d-1} s(u)]}{|s(u) - P|^d} du_1 \dots du_{d-1},$$

onde $A_{d-1}(1)$ representa a área da esfera unitária $(d-1)$ -dimensional.

[Silva 2004] mostrou que existe uma relação estrita entre o cálculo desta integral e a contagem de intersecções entre as faces da hipersuperfície e qualquer segmento de reta traçada a partir do ponto P que está sendo testado. Assim, para se calcular a pertinência de um ponto contra uma hipersuperfície

discreta, soma-se a contribuição de cada uma destas intersecções sinalizadas $(-1, 0, +1)$:

```

WINDINGNUMBER(D)D(DiscreteHypersurface Ω, Point P)
1  w ← 0
2  for each τi in Ω
3  do w ← w + CONTRIBUTION(D)D(τi - P)
4  return w

```

A contribuição de cada intersecção é dada pela função abaixo:

```

CONTRIBUTION(D)D(Cell τ)
1  H ← HYPERPLANE(τ)
2  if H ∩ {(0, ..., z) : z ∈ ℤ} = 0
3  then return 0
4  else if (0, ..., 0) ∈ H and (0, ..., 1) ∈ H
5  then return 0
6  else Q ← H ∩ {(0, ..., z) : z ∈ ℤ}
7  if Qd ≤ 0
8  then τproj ← PROJECTIONX1...Xd-1(τ)
9  if WINDINGNUMBER(D-1)D(τproj, (0, ..., 0)) ≠ 0
10 then return sgn(τ · (0, ..., -1))
11 else return 0
12 else return 0

```

A base de funcionamento desta função é reduzir, a cada passo, a dimensão do problema de pertinência através de um processo de projeção, até atingirmos a dimensão 2, onde o problema é tratado de maneira bem simples. Além disto, são feitos alguns passos de otimização para segmentos de reta paralelos ou coincidentes às faces da hipersuperfícies.

4. Pertinência Generalizada em GPU

O cálculo da contribuição de uma célula τ para a pertinência de um ponto P não depende do cálculo da contribuição de outras células. Assim, o problema de pertinência já define uma paralelização natural entre as células. Além disto, é possível se calcular a pertinência de vários pontos simultâneos, utilizando uma adaptação da técnica matricial de computação geométrica proposta por [RUEDA e ORTEGA, 2008].

Inicialmente, foi feita uma adaptação da técnica matricial para o teste de pertinência tridimensional, mostrado na figura abaixo:

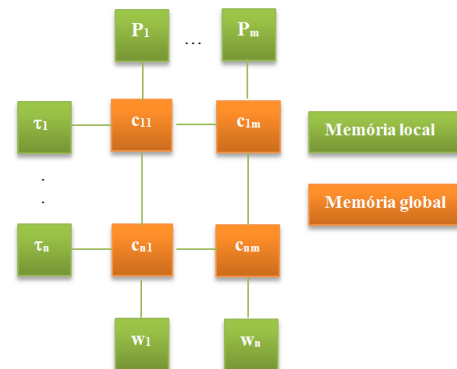


Figura 4: Esquema matricial para cálculo de pertinência tridimensional de pontos.

A implementação em CUDA 4.0 utilizou esquemas de memória local para armazenamento de pontos e, para o cálculo da contribuição c_{ij} , da célula τ_i para o ponto P_j , armazenamento em memória global. A quantidade de *threads* lançadas corresponde à dimensão da matriz. Após a computação de todas as *threads*, faz-se uma soma sequencial das contribuições para se encontrar o número de rotação w_j do ponto P_j .

Para se comparar o desempenho da implementação da pertinência tridimensional em GPU com CPU, o mesmo algoritmo foi implementado em três arquiteturas diferentes: GeForce GTX 690 com CUDA 4.0, Intel i7 utilizando somente um *core* e com quatro *cores*.

Para cada uma destas arquiteturas, foram efetuados vários testes com diferentes tamanhos de superfícies. O resultado visual de classificação para uma superfície complexa de 10000 vértices é mostrada na Figura 1, no início deste artigo. A tabela abaixo mostra o desempenho para teste de apenas um ponto:

Tabela 1: Desempenhos comparativos para 1 ponto.

Tamanho da Malha	Intel 1 core	Intel 4 cores	GeForce 690
100	1	1.3	2.4
1000	8	2.6	0.02
10000	94	32	0.008

Para efeitos de comparação, tomou-se como referência absoluta o tempo gasto por 1 core no processamento de 100 células. Observe que, para malhas pequenas, é mais vantajoso o uso de CPU com 1 *core* devido aos custos de comunicação e distribuição de dados.

Foram, ainda, efetuados testes com classificação de pertinência de 100 pontos simultâneos com variação de tamanho de malha. Os resultados estão condensados na Tabela 2:

Tabela 1: Desempenhos comparativos para 100 pontos.

Tamanho da Malha	Intel 1 core	Intel 4 cores	GeForce 690
100	1	1.1	2.1
1000	8	2.2	0.01
10000	94	25	0.005

Devido à computação paralela dentro da matriz de pertinência e, mesmo com a soma sequencial das contribuições, CUDA permitiu um ganho de cerca de 200% de desempenho da classificação.

5. Conclusões e Trabalhos Futuros

Este artigo apresentou um método generalizado para decidir pertinência de pontos em hipersuperfícies

discretas de dimensão arbitrária, apresentando um esquema de implementação para o caso tridimensional em CUDA para GPU, com ganho muito significativo em performance.

Trabalhos futuros incluirão implementações em CUDA para testes de pertinência n-dimensionais, com utilização de núcleos recursivos de CUDA 5.0. Como o método atual de pertinência suporta apenas objetos poligonais no estado atual, ele será estendido para NURBS discretas de dimensão discreta arbitrária.

Referências

- AYALA, R., FRANCÉS, A.R., QUINTERO, A. e RUBIO, R. (1995) On surfaces in digital topology. In *5th Colloquium on Discrete Geometry for Computer Imagery DGCI'95*, pp. 271–276.
- CORTHOUT, M.E.A. e POL, E.J.D. (1992). *Point Containment and the Pharos Chip*. PhD thesis, Leiden University, the Netherlands.
- EDELSBRUNER, H.(1987). *Algorithms in Combinatorial Geometry*. Springer-Verlag, Heidelberg.
- FABRIS, A.E., SILVA, L. E FORREST, A.R. (1997). An efficient filling algorithm for non-simple closed curves using the point containment paradigm. In *SIBGRAP'97 Conference Proceedings*, pp. 2–9.
- _____.(1998). Stroking polynomial discrete bézier curves via point containment paradigm. In *SIBGRAP'98 Conference Proceedings*, pp. 110–118.
- FEITO, F.R. e TORRES, J.C. (1997). Inclusion test for general polyhedra. *Computer and Graphics*, 21(1), pp. 23–30.
- FORREST, A.R.(1985). *Computational geometry in practice*, pp. 707–724. *Fundamental Algorithms for Computer Graphics*. Springer-Verlag.
- GUIBAS, L.J., RAMSHAW, L.H. E J. STOLFI. (1983). A kinetic framework for computational geometry. In *24th IEEE Symposium on the Foundations of Computer Science*, pp. 100–111.
- GUILLEMIN, V. E POLLACK, A. (1974). *Differential Topology*. Prentice-Hall, New Jersey, 1974.
- MORGENTHALER, D.G. E ROSENFELD, A.(1981). Surfaces in three-dimensional images. *Information and Control*, 51, pp. 227–247.
- PALKA. B.P. (1991) *An Introduction to Complex Function Theory*. Springer-Verlag, New York.
- PRICE, G.B. (1984). *Multivariable Analysis*. Springer-Verlag, New York.
- RUEDA, A., ORTEGA, L. (2008) Geometric Algorithms on CUDA. International Conference on Computer Graphics Theory and Applications. Pp 107-112.
- SILVA, L. (2004). Pertinência de Pontos contra Superfícies Discretas de Dimensão Arbitrária. Tese de Doutorado, Instituto de Matemática e Estatística, USP.
- SPANIER, E.H. (1995). *Algebraic Topology*. Springer-Verlag, New York.
- TANG, G.Y. (1988). Region filling with the use of the discrete green theorem. *Computer Vision, Graphics and Image Processing*, 42, pp. 297–305.